

بررسی اثر عمق شیار V شکل بر چقرمگی شکست K_{IC} و ناحیه پلاستیک نوک ترک با استفاده از داده‌های

آزمایش ضربه شارپی در فولاد API X65*

مقاله علمی - پژوهشی

علی حسین زاده^(۱) خلیل فرهنگ دوست^(۲) محمدرضا مرکی^(۳)

چکیده در این مقاله بررسی اثر عمق شیار بر چقرمگی شکست (K_{IC}) و ناحیه پلاستیک نوک ترک با استفاده از داده‌های آزمایش ضربه شارپی (CVN) استخراج شده از لوله‌های انتقال نفت و گاز فولادی از جنس API X65 با عمق شیارهای متفاوت انجام و انرژی شکست اندازه‌گیری شد. همچنین شبیه‌سازی کامپیوتری آزمایش ضربه با مدل سه‌بعدی بر اساس قانون آسیب اصلاح شده گرسون در نرم‌افزار آباکوس انجام شد. برای به دست آوردن مقادیر K_{IC} ، معادلات بر اساس تنش تسلیم و انرژی شکست‌های آزمایش ضربه شارپی (CVN) به دست آمده از فولاد مورد نظر استفاده شد. داده‌های K_{IC} و ناحیه پلاستیک نوک ترک برآورد شده با افزایش عمق شیار نمونه ضربه شارپی کاهش می‌یابد.

واژه‌های کلیدی چقرمگی شکست، ناحیه پلاستیک نوک ترک، آزمایش ضربه شارپی، اثر عمق شیار، فولاد API X65.

Effect of V-notch Depth on Fracture Toughness and the Plastic Region of the Crack Tip Using Charpy Impact Test Data in API X65 Steel

A. Hosseinzadeh

Kh. Farhangdoost

M. R. Maraki

Abstract In this paper, the effect of notch depth on the fracture toughness (K_{IC}) and the plastic region of the crack tip material using the Charpy V-Notch test (CVN) data extracted from API X65 with different notch depth were conducted and the fracture energy was measured. Also, computer simulation of the experiment with a three-dimensional model was performed based on Gurson's modified damage law in Abaqus software. To obtain K_{IC} values, equations based on the yield stress (σ_{YS}) and the failure energy of the Charpy V-Notch test (CVN) obtained from the steel was used. The estimated K_{IC} data and plastic region of the crack tip, decreased with increasing notch depth.

Key Words Fracture toughness, Crack tip plastic region, charpy impact test, notch depth effect, API X65 steel.

DOI: 10.22067/fum-mech.v31i2.84506

* تاریخ دریافت مقاله ۹۸/۹/۱۶ و تاریخ پذیرش آن ۹۹/۴/۷ می‌باشد.

(۱) دانشجوی دکتری، مهندسی مکانیک، دانشگاه فردوسی مشهد.

(۲) نویسنده مسئول: استاد، مهندسی مکانیک، دانشگاه فردوسی مشهد.

(۳) مربی، مهندسی مواد، دانشگاه صنعتی بیرجند.

Email: ffarhang@um.ac.ir

مقدمه

بخش عمده‌ای از خطوط لوله فولادی به‌کاررفته در ایران از جنس فولاد API X65 است و در حال حاضر لوله‌هایی قطور با قطر خارجی ۵۶ اینچ از این فولاد ساخته می‌شوند. لذا ضروری است تا در مورد این نوع لوله اطلاعاتی نظیر خواص مکانیکی (چقرمگی شکست، انرژی شکست، استحکام تسلیم، استحکام کششی)، ریزساختار، ترکیب شیمیایی و اطلاعاتی از این قبیل جمع‌آوری و بررسی گردد [۱].

چقرمگی شکست کرنش صفحه‌ای ماده (K_{IC}) مستقل از ضخامت قطعه است. ولی برای ضخامت‌های کم که شرایط تنش صفحه‌ای برقرار است، ممکن است مقاومت ماده با رشد ترک افزایش یابد و قبل از شکست ناگهانی ماده، محدوده‌ای از رشد ترک نرم ایجاد شود. در چنین شرایطی آزمایش‌های مورد استفاده برای اندازه‌گیری چقرمگی تنش صفحه‌ای (K_{IC}) به‌سختی قابل تفسیر است، به‌ویژه این که K_{IC} تابعی از دمای محیط، نرخ کرنش و ضخامت قطعه است. لیکن K_{IC} فقط تابع دمای محیط و نرخ کرنش است. با توجه به اینکه بیشتر قطعاتی که در سازه‌های مهندسی به کار می‌روند، معمولاً به شکلی هستند که شرایط تنش صفحه‌ای بر آن‌ها حاکم است، لازم است چقرمگی شکست تنش صفحه‌ای مورد توجه بیشتری قرار گیرد [۲].

در مکانیک شکست الاستیک خطی، K_{IC} مقدار شدت تنش در نوک ترک است اگر کرنش در جسم الاستیک باشد [۳]. در حال حاضر، استاندارد ASTM E-399 برای به دست آوردن مقادیر K_{IC} در کرنش صفحه‌ای برای حالت جابجایی باز شدن ترک استفاده می‌شود. این استاندارد پیچیده و پرهزینه است؛ زیرا شامل نمونه‌های آزمایش ماشین‌کاری با هندسه پیچیده تحت تلو رانس‌های بسیار سخت است. علاوه بر این، همیشه نمی‌توان نمونه را ساخت، اگر مواد آنالیز شده

ابعاد مناسب نداشته باشد [۴]. با این وجود، می‌توان مقادیر K_{IC} را از رابطه بین K_{IC} و آزمایش ضربه شارپی [5-17] به دست آورد. این رابطه‌ها بر اساس نمونه CVN است. مقدار K_{IC} یک خواص ماده است که مستقل از هندسه کرنش صفحه‌ای است؛ بنابراین، مقدار K_{IC} می‌تواند به ساختار یا عنصر ساخته‌شده از همان ماده اعمال شود [18].

در این مقاله، مقادیر K_{IC} از روابط بین K_{IC} و انرژی ضربه شارپی در مطالعات انجام‌شده برای داده‌های آزمون ضربه CVN گزارش شده است. مقادیر CVN از کار گزارش شده توسط حسین‌زاده [۳۵ و ۱] به دست آمد. نمونه آزمون شارپی با ابعاد استاندارد (۱۰×۱۰×۵۵ میلی‌متر) و شیار (شعاع قوس شیار ۰/۲۵ میلی‌متر، زاویه ۴۵ درجه و عمق شیار از ۱/۲۵ تا ۳ میلی‌متر) در فلز پایه فولاد API X65 استخراج شد. در این مقاله به تأثیر عمق شیار بر ناحیه پلاستیک نوک ترک و چقرمگی شکست بر اساس نتایج تجربی و عددی برای فولاد API X65 پرداخته شده است.

معرفی ماده

استاندارد API مشخصات فولادهای پراستحکام مانند ترکیب شیمیایی، استحکام تسلیم، استحکام شکست، شرایط جوشکاری، فرایندهای ساخت، نحوه انجام آزمایش‌های مکانیکی و مواردی از این دست را بیان می‌کند. تمامی این فولادها با گریدهایی توسط یک حرف و یک عدد مشخص می‌شوند که این عدد (به جز گریدهای A و B) حداقل استحکام تسلیم این نوع فولادها را بر اساس واحد انگلیسی (ksi) مشخص می‌کند. بر اساس استاندارد API این گریدها عبارت‌اند از: A25, B, X42, X46, X52, X56, X60, X65, X70, X80 و X100. محصولات API در دو سطح PSL1 و PSL2 که بیانگر دو سطح مختلف استاندارد تخصصی

مورد نیاز این محصولات هستند، بیان می‌شوند [۱۹].
به‌طور کلی لوله سیاه فولادی در صنعت به دو دسته درزدار و بدون درز تقسیم می‌شود. لوله‌های درزدار برای انتقال مایعات، تولید پروفیل‌های قوطی، ساخت مصنوعات و سازه‌های فلزی به‌کار برده می‌شود [۲۰].

برشکاری و تراشکاری صورت پذیرد. با استفاده از دستگاه برش‌زن لوله، لوله فولادی برش خورده صفحه‌ای از آن جدا شده که این صفحه در قسمت فلز پایه می‌باشد. با توجه به اینکه نمونه‌ها از لوله‌ای به قطر ۱۲۱۹ میلی‌متر بریده می‌شوند، پس از برش دارای انحنا خواهند بود که توسط دستگاه فرز، ضخامت آن به ۱۰ میلی‌متر و هم‌چنین عرض ستون به ۵۵ میلی‌متر (اندازه استاندارد طول نمونه‌های آزمایش ضربه شاریپی) کاهش یافت. سپس توسط دستگاه سنگ‌زنی سطح آن صاف و صیقلی شد.

خواص مکانیکی و ترکیب شیمیایی فولاد آزمایش شده به ترتیب در جدول (۱) و (۲) ذکر شده است.

جدول (۱): خواص مکانیکی فولاد API X65 [21]

| مقدار | خواص مکانیکی |
|---------|------------------------|
| ۲۱۰ | Young's modulus (GPa) |
| ۵۰۵ | Yield strength (MPa) |
| ۶۱۱ | Tensile strength (MPa) |
| ۰/۸۳ | Yield to UTS |
| ۲۰ | Elongation (%) |
| ۸۵۰ | K(GPa) |
| ۰/۰۹۸ | n |
| ۲۱۷-۲۲۸ | Vickers Hardness (HV) |

در این تحقیق با استفاده از دستگاه وایرکات نمونه‌ها با ابعاد استاندارد ۱۰×۱۰×۵۵ میلی‌متر و شیار آن با زاویه ۴۵ درجه و قوس انتهای شیار با شعاع ۰/۲۵ میلی‌متر و عمق شیار از ۱/۲۵ تا ۳ میلی‌متر (۸ نمونه با اختلاف ۰/۲۵ میلی‌متر) با اعمال دقت کافی و رعایت الزامات استاندارد ساخته شد.

جدول (۲): ترکیب شیمیایی لوله فولادی API X65 [21]

| C | P | Mn | S | Si | Cr | Fe |
|-------|-------|------|-------|-------|-------|---------|
| ۰/۰۷۲ | ۰/۰۰۸ | ۱/۴۵ | ۰/۰۰۲ | ۰/۲۰۱ | ۰/۳۲۰ | Balance |

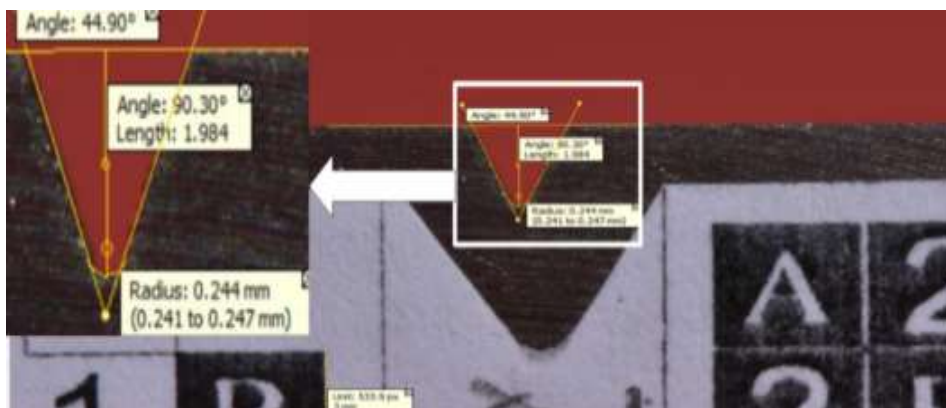
برای صحت سنجی ابعاد نمونه‌ها (ضخامت، طول و عرض) با میکرومتر اندازه‌گیری شد. ابعاد شیار نمونه‌ها (عمق و شعاع قوس) با دوربین عکس‌برداری با عدسی ماکرو و نرم‌افزار پردازش تصویر با دقت ۰/۰۰۱ میلی‌متر مطابق شکل (۱) به‌طور دقیق اندازه‌گیری شد که کاملاً مطابق تلورانس‌های استاندارد ASTM E23 بود و سپس به آزمایشگاه کنترل کیفیت (کارخانه لوله‌سازی اهواز) برای انجام آزمایش ضربه منتقل شد.

آزمایش تجربی

آزمایش ضربه شاریپی با استفاده از ماشین زوئیک رول آلمان با ظرفیت ۷۵۰ ژول که در شکل (۲) مشاهده می‌شود، در دمای ۲۰ درجه سلسیوس (دمای محیط شهر اهواز در آذرماه) انجام شد. آزمایش ضربه شاریپی برای نمونه‌های فلز پایه ۳ بار تکرار شده و میانگین انرژی شکست به‌دست آمده است.

به‌منظور دستیابی به اهداف پژوهش، ۲۴ نمونه ضربه شاریپی در ۸ گروه ۳ تایی از لوله ساخته شده در مقیاس صنعتی با جنس فولاد میکرو آلیاژی گرید API X65 با قطر خارجی ۱۲۱۹ میلی‌متر و ضخامت دیواره ۱۴/۳ میلی‌متر جدا شده است.

پس از برش اولیه نمونه‌ها به‌منظور رساندن آنها به ابعاد استاندارد، می‌بایست بر روی آنها عملیات



شکل (۱): اندازه‌گیری با نرم‌افزار دیجی‌مايزر [۳۵]



شکل (۲): ماشین ضربه شاریبی زوئیک رول آلمان

این دستگاه مجهز به سیستم نمایش انرژی بوده و به صورت دیجیتال انرژی شکست نمونه را می‌توان از روی صفحه مانیتور آن قرائت کرد.

طی این مرحله، با توجه به مقادیر انرژی شکست به‌دست آمده، انرژی شکست میانگین سه نمونه استاندارد ۲۴۱ ژول است که این انرژی معادل ۳۲ درصد ظرفیت دستگاه آزمایش این شرکت بوده است. از آنجاکه مطابق استاندارد، حداکثر انرژی شکست نمونه‌ها می‌بایست از ۸۰٪ ظرفیت ماشین کمتر باشد، این آزمایش از نظر

در این آزمایش سه نمونه با ابعاد استاندارد و بیست‌ویک نمونه با عمق شیار V شکل غیراستاندارد تحت آزمایش ضربه شاریبی قرار گرفت. مشخصات اصلی ماشین ضربه شاریبی زوئیک رول آزمایش شده در جدول (۳) نشان داده شده است.

جدول (۳): مشخصات اصلی ماشین ضربه شاریبی

| ظرفیت (J) | شعاع ضربه‌زن (mm) | سرعت ضربه‌زن (m/s) | جرم ضربه‌زن (kg) |
|-----------|-------------------|--------------------|------------------|
| ۷۵۰ | ۸ | ۵/۴۲ | ۵۰ |

در روابط جدول (۴)، K_{IC} چقرمگی شکست در حالت کرنش مسطح، σ_y تنش تسلیم و CVN انرژی شکست حاصل از آزمایش ضربه شاری روی نمونه شیاردار با شیار V شکل است و واحد این کمیت‌ها به ترتیب $MPa\sqrt{m}$ ، MPa و J است.

با استفاده از روابط جدول و انرژی شکست به دست آمده از آزمایش ضربه شاری و هم‌چنین با داشتن $\sigma_{YS} = 505MPa$ ابتدا K_{IC} در ۸ حالت به دست آورده و سپس با توجه به محققان دیگر که برای نمونه استاندارد K_{IC} را برای این فولاد به دست آوردند مقایسه می‌شود و ۲ رابطه که تطابق خوبی دارند برگزیده می‌شود. سپس با استفاده از روابط فون میز نا حیه پلاستیک نوک ترک و شبیه‌سازی نمونه استاندارد مقایسه می‌شود و بهترین تطابق به عنوان رابطه مدنظر انتخاب می‌شود و در پایان به مقایسه اثر عمق شیار در ناحیه پلاستیک نوک ترک و K_{IC} برای فولاد آزمایش شده پرداخته می‌شود.

استاندارد قابل قبول است [22]. در شکل (۳) یک گروه سه‌تایی از نمونه آزمایش شاری قبل و بعد شکست مشاهده می‌شود. همان‌طور که مشاهده می‌شود نمونه‌ها به صورت کامل شکسته نشده و شکست نرم اتفاق افتاده است.

نتایج و بحث

به دلیل دشوار بودن، پرهزینه و وقت‌گیر بودن آزمایش چقرمگی شکست، تلاش می‌شود از روش‌های ساده‌تر مانند آزمایش ضربه شاری جهت محاسبه K_{IC} استفاده گردد. از سال ۱۹۷۰ محققانی نظیر Novak, Rolfe و سایرین با انجام آزمایش‌های متعدد به وجود روابطی بین چقرمگی شکست و انرژی شکست آزمایش ضربه شاری (با استفاده از نمونه با شیار V شکل) پی بردند. در جدول (۴) تعدادی از روابط که برای لوله فولادی API X65 کاربرد دارد آورده شده است [21].



شکل (۳): یک گروه سه‌تایی (با عمق شیار استاندارد) از نمونه آزمایش شاری قبل و بعد شکست [۳۵]

جدول (۴): روابط بین K_{IC} و انرژی ضربه شاری

| رابطه | مرجع | ردیف |
|--|---|------|
| $\left(\frac{K_{IC}}{\sigma_{YS}}\right)^2 = 0.64\left(\frac{CVN}{\sigma_{YS}} - 0.01\right)$ | Rolfe-Novak-Barsom [23,24] | 1 |
| $\left(\frac{K_{IC}}{\sigma_{YS}}\right)^2 = 1.37\left(\frac{CVN}{\sigma_{YS}} - 0.045\right)$ | [25] Ault et al. | 2 |
| $\left(\frac{K_{IC}}{\sigma_{YS}}\right)^2 = 0.893\left(\frac{CVN}{\sigma_{YS}} - 0.0291\right)$ | Van der Sluys et al. [26] and Witt [27] | 3 |
| $\left(\frac{K_{IC}}{\sigma_{YS}}\right)^2 = 1.23\left(\frac{CVN}{\sigma_{YS}} - 0.0061\right)$ | Kussmaul and Roos [28] | 4 |
| $K_{IC} = 8.47(CVN)^{0.63}$ | WRC 265 [10] | 5 |
| $K_{IC} = 14.6(CVN)^{0.50}$ | Sailors and Corten [11] | 6 |
| $K_{IC} = 19(CVN)^{1/2}$ | Marandet and Sanz [15] | 7 |
| $K_{IC} = 8.47(CVN)^{0.63}$ | Robert and Newton [13] | 8 |

استفاده از روابط جدول (۴)، در جدول (۵) گزارش شده است.

از روابط جداول (۴) و (۵)، دو رابطه بر اساس تحقیقات انجام شده مورد قبول است. برای به دست آوردن رابطه قطعی که بتوان برای این فولاد به آن استناد کرد با توجه به رابطه فون میز نا حیه پلاستیک نوک ترک را برای نمونه استاندارد ضربه شاری به دست آورده و سپس با ناحیه پلاستیک نوک ترک که در شبیه سازی به دست آمده مقایسه می شود.

اندازه ناحیه پلاستیک نوک ترک بر اساس رابطه فون میز به صورت رابطه (۱) [33] است:

$$r = \frac{1}{4\pi} \left(\frac{K_{IC}}{\sigma_{YS}}\right)^2 \left[\frac{3}{2} \sin^2 \theta + h(1 + \cos \theta)\right] \quad (1)$$

در رابطه (۱)، r اندازه ناحیه پلاستیک نوک ترک، K_{IC} چقرمگی شکست، σ_{YS} تنش تسلیم و h برای حالت تنش صفحه ای $h=1$ یا کرنش صفحه ای $h=(1-2\nu)2$ است. برای نمونه های ضربه شاری حالت کرنش صفحه ای است، بنابراین برای نمونه های آزمایش ضربه شاری ناحیه پلاستیک نوک ترک بر اساس رابطه فون میز به صورت رابطه (۲) است:

در عمل برای به دست آوردن چقرمگی شکست از دو روش متداول آزمون خمش سه نقطه ای و CT استفاده می شود. بدین منظور نمونه هایی با ابعاد استاندارد از ماده مورد نظر استخراج و آزمایش می شود. حاصل این آزمایش نمودار نیروی وارد بر نمونه ها بر حسب گشودگی دهانه ترک خواهد بود. سپس از نمودار به دست آمده مقدار گشودگی نوک ترک را به دست آورده و با توجه به رابطه بین چقرمگی شکست و گشودگی نوک ترک که در استاندارد آورده شده است، مقدار چقرمگی شکست را به دست می آورند [32]. برای فولاد آزمایش شده هاشمی و همکار [21,30] با استفاده از آزمایش خمش سه نقطه ای و شبیه سازی CT بر روی ۱۰۰ نمونه چقرمگی شکست بین ۲۸۳ تا ۳۳۴ $MPa\sqrt{m}$ به دست آوردند. اصغری و همکاران [30] با استفاده از آزمایش CT مقدار K_{IC} را برای این فولاد ۳۰۴ $MPa\sqrt{m}$ گزارش کردند. بیک و همکاران [31] برای این فولاد مقدار K_{IC} را ۳۰۸ $MPa\sqrt{m}$ گزارش کردند. با داشتن مقادیر K_{IC} گزارش شده [21,29-31] و همچنین مقادیر K_{IC} به دست آمده برای نمونه استاندارد ضربه شاری با

$$r = \frac{1}{4\pi} \left(\frac{K_{IC}}{\sigma_{YS}} \right)^2 \left[\frac{3}{2} \sin^2 \theta + (1 - 2\theta)^2 (1 + \cos \theta) \right] \quad (2)$$

شبیه‌سازی نمونه‌های آزمایش ضربه شاریبی به‌صورت سه‌بعدی و تغییر شکل‌پذیر و بر اساس مدل اصلاح گرسون انجام شد [۳۵] و مراحل مختلف شکست شبیه‌سازی نمونه استاندارد در شکل (۵) مشاهده می‌شود. در این تحقیق قسمت مدنظر در لحظه شروع ناحیه پلاستیک نوک ترک ایجاد می‌شود، است. با استفاده از روابط جدول (۶) نمودار ناحیه پلاستیک نوک ترک برای نمونه استاندارد مطابق شکل (۶) است.

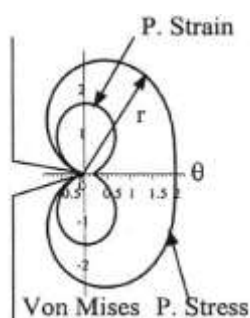
با داشتن مقادیر $\sigma_{YS} = 505 \text{ GPa}$ ، $\nu = 0.3$ و K_{IC} های مورد تأیید در جدول (۵) می‌توان نمودار ناحیه پلاستیک نوک ترک را با رابطه (۲) برای نمونه استاندارد آزمایش ضربه شاریبی ترسیم کرد. سه رابطه مختلف با توجه به داشتن سه K_{IC} در جدول (۶) شرح داده شده است. شکل (۴) ناحیه پلاستیک نوک ترک بر اساس روابط فون میز به‌صورت کرنش صفحه‌ای و تنش صفحه‌ای به‌صورت شماتیک نشان می‌دهد [33].

جدول (۵): K_{IC} های نمونه استاندارد آزمایش شاریبی

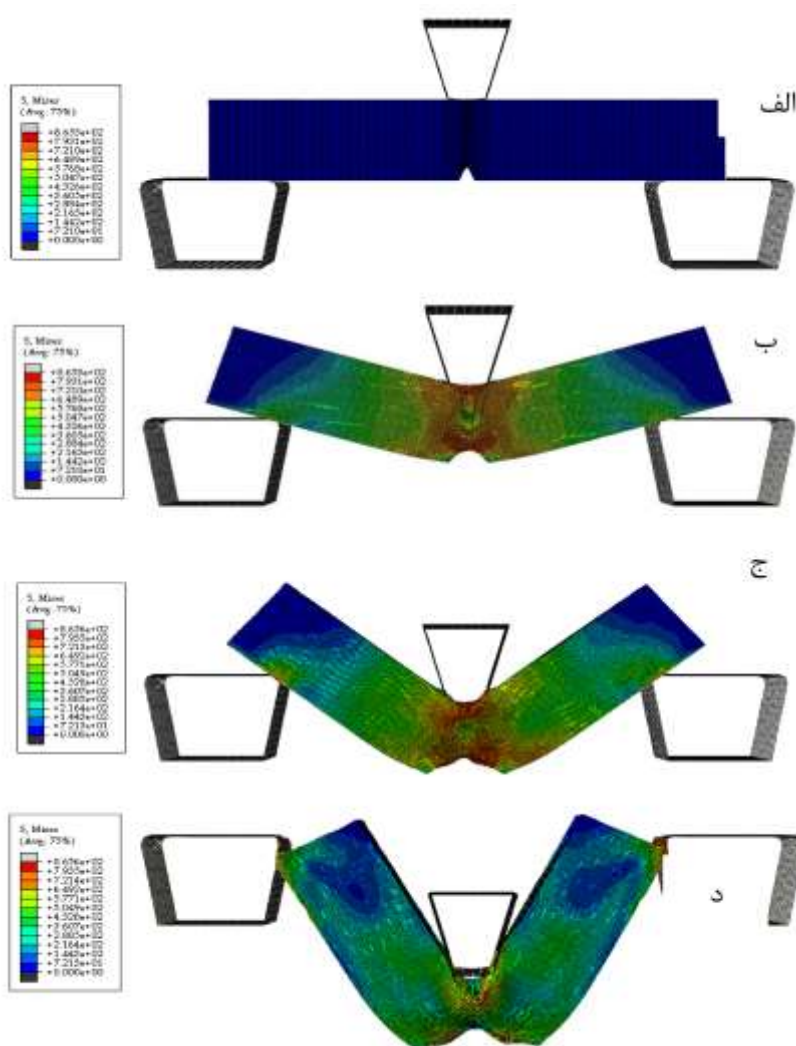
| ردیف | مرجع | K_{IC} MPa \sqrt{m} | توضیحات |
|------|---|----------------------------|--|
| 1 | Rolfe-Novak-Barsom [23,24] | ۲۷۶/۴۷۹۸ | عدم تطابق با آزمایش تجربی و شبیه‌سازی مراجع [21,29-31] |
| 2 | [25] Ault et al. | ۳۸۹/۱۰۹۷ | |
| 3 | Van der Sluys et al. [26] and Witt [27] | ۳۱۹/۸۵۸۵ | مطابق آزمایش تجربی و شبیه‌سازی مراجع [21,29-31] است |
| 4 | Kussmaul and Roos [28] | ۳۸۴/۸۸۱۳ | عدم تطابق با آزمایش تجربی و شبیه‌سازی مراجع [21,29-31] |
| 5 | WRC 265 [10] | ۲۶۸/۶۵۳۸ | |
| 6 | Sailors and Corten [11] | ۲۲۶/۹۱۷۷ | |
| 7 | Marandet and Sanz [15] | ۲۹۵/۳۰۳۸ | مطابق آزمایش تجربی و شبیه‌سازی مراجع [21,29-31] است |
| 8 | Robert and Newton [13] | ۲۶۸/۶۵۳۸ | عدم تطابق با آزمایش تجربی و شبیه‌سازی مراجع [21,29-31] |

جدول (۶): معادلات ناحیه پلاستیک نمونه استاندارد شاریبی

| ردیف | K_{IC} (MPa \sqrt{m}) | رابطه ناحیه پلاستیک نوک ترک نمونه استاندارد آزمایش ضربه شاریبی |
|------|-------------------------------|--|
| ۱ | ۳۱۹/۸۵۸۵ | $r_1 = 0.03192(1.5 \sin^2 \theta + 0.16(1 + \cos \theta))$ |
| ۲ | ۲۹۵/۳۰۳۸ | $r_2 = 0.02721(1.5 \sin^2 \theta + 0.16(1 + \cos \theta))$ |



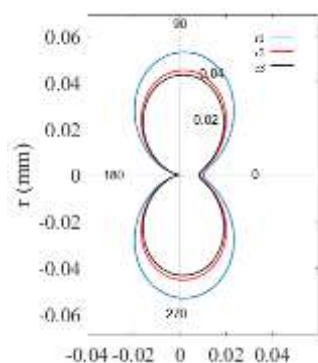
شکل (۴): شماتیک ناحیه پلاستیک نوک ترک برای تنش صفحه‌ای و کرنش صفحه‌ای در حالت کلی [33]



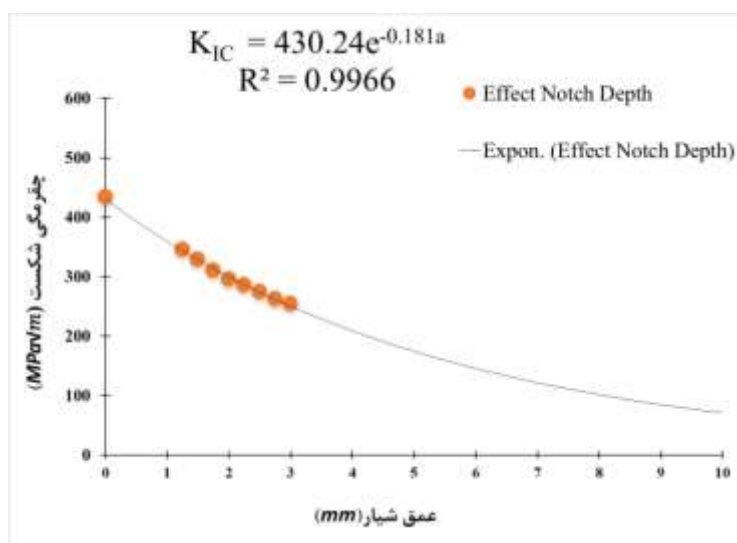
شکل (۵): مراحل شکست نمونه ضربه شاریبی در نرم‌افزار آباکوس؛ الف) تصویر نمونه قبل از شکست، ب) تصویر نمونه در لحظه ۱/۵ میلی‌ثانیه، ج) تصویر نمونه در لحظه ۳ میلی‌ثانیه، د) تصویر نمونه بعد از اتمام شکست [۳۵]

عمق شیار تغییر می‌کند از رابطه مارندت و سنز [15] استفاده می‌شود. در شکل (۷) و (۸) به ترتیب اثر عمق شیار بر K_{IC} و اثر عمق شیار بر ناحیه پلاستیک نوک ترک در فولاد ایکس شصت و پنج را نشان می‌دهد. در نمودار شکل (۷) چقرمگی شکست که خاصیت ماده است به‌عنوان تابعی از عمق شیار داده شده است. مقاومت ماده در برابر شکست، تابع ضخامت نمونه است و وقتی ضخامت به‌اندازه کافی زیاد شد، این وابستگی از بین می‌رود. به این مقدار ثابت، چقرمگی شکست گفته می‌شود.

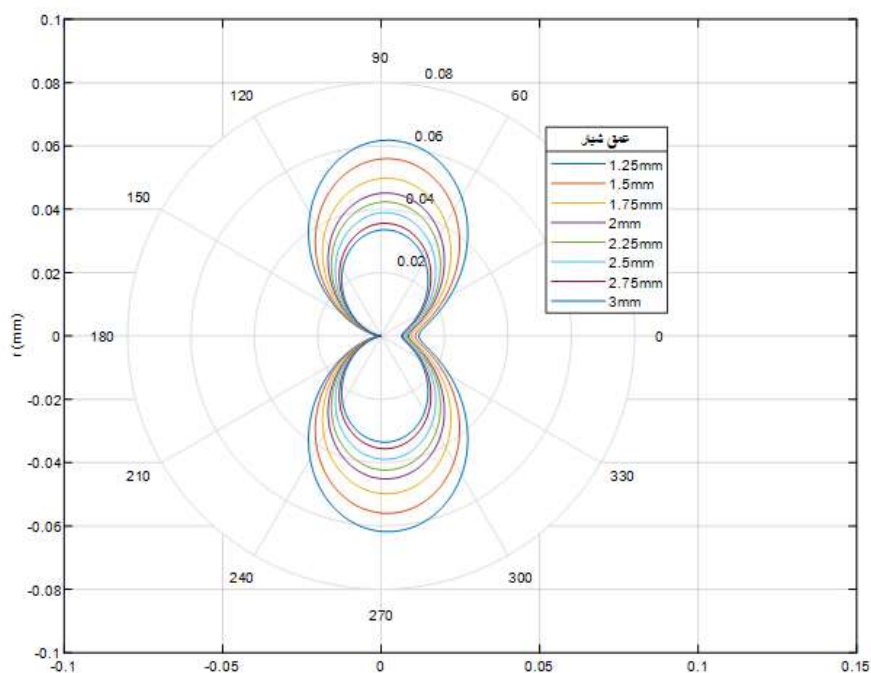
در شکل (۶)، r_3 از نتایج به‌دست‌آمده از تحقیق هاشمی [21,30] و اصغری [29] است که با مقایسه نمودارها بهترین چقرمگی شکست را مقدار $295/3038 \text{MPa}\sqrt{\text{m}}$ می‌توان گزارش کرد که این اختلاف بین ۳ تا ۴ درصدی با توجه به شکل (۹) که نمودار دمایی فولاد ایکس شصت و پنج را نشان می‌دهد، به علت اختلاف دما به‌عنوان یک عامل مؤثر در چقرمگی شکست است. بنابراین برای به دست آوردن K_{IC} سایر نمونه‌ها که



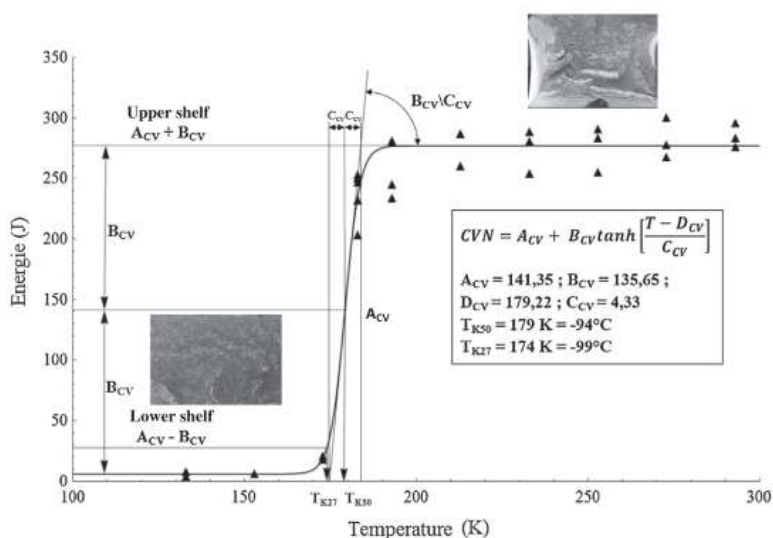
شکل (۶): ناحیه پلاستیک نوک ترک نمونه استاندارد شارپی



شکل (۷): نمودار اثر عمق شیار نمونه شارپی بر K_{IC}



شکل (۸): نواحی پلاستیک نوک ترک نمونه‌های شارپی با تغییر عمق شیار



شکل (۹): نمودار انرژی-دما برای فولاد API X65 [34]

در شکل (۱۰) و (۱۱) ناحیه پلاستیک نوک ترک در نمونه با شیار و بدون شیار از شبیه سازی مشاهده می‌شود.

همان‌طور که از مقایسه نمودار شیاردار و بدون شیار مشخص است، ناحیه پلاستیک در نمونه بدون

همان‌طور که در شکل (۷) مشاهده می‌شود با افزایش عمق شیار چقرمگی شکست طبق رابطه نمایی کاهش می‌یابد که این کاهش به علت کم شدن سطح مقطع است. در شکل (۸) مشاهده می‌شود که با افزایش عمق شیار ناحیه پلاستیک نوک ترک کاهش می‌یابد.

چقرمگی شکست به صورت نمایی بر اساس رابطه $K_{IC} = 430.24e^{-0.181a}$ کاهش پیدا می‌کند.

۲. ناحیه پلاستیک نوک ترک با استفاده از رابطه فون میزز و چقرمگی شکست به دست آمده از رابطه ماندرات و سنز به دست آمد و مشاهده شد که با افزایش عمق شیار، ناحیه پلاستیک نوک ترک کاهش می‌یابد.

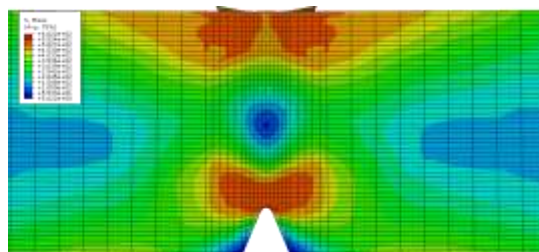
۳. برای اعتبارسنجی نتایج چقرمگی شکست به دست آمده از آزمایش تجربی ضربه شاری تحقیقات هاشمی و اصغری استفاده شد. مقایسه مقدار حاصل از نتایج آزمایش تجربی و تحقیقات هاشمی و اصغری طبق رابطه ماراندت و سنز ۳ تا ۴ درصد خطا دارد که به علت اختلاف دمای محیط آزمایش است.

۴. برای اعتبارسنجی ناحیه پلاستیک به دست آمده از آزمایش تجربی ضربه شاری از شبیه‌سازی سه بعدی بر اساس مدل اصلاح شده آسیب گرسون استفاده شد. مقایسه ناحیه پلاستیک به دست آمده از معیار فون میزز و رابطه ماراندت و سنز با شبیه‌سازی تطابق خوبی داشت.

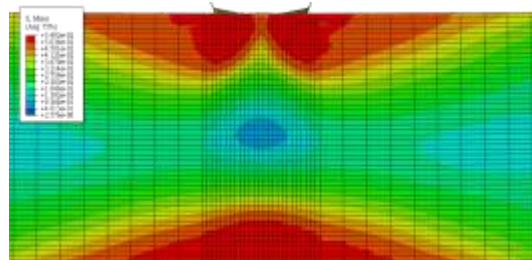
تقدیر و تشکر

نویسندگان مقاله مراتب سپاس و قدردانی خود را از دانشگاه بیرجند که داده‌های حاصل از آزمایش‌های تجربی در این دانشگاه انجام شده است و همچنین راهنمایی دکتر سیدحجت هاشمی اعلام می‌دارند. همچنین از آقایان مهندس غریب‌زاده (مدیر پژوهش و توسعه)، مهندس احمدی، مهندس داودیان رنجبر، مهندس کلانتری و مهندس سلطانی در آزمایشگاه کنترل کیفیت شرکت لوله‌سازی اهواز کمال تقدیر و تشکر را دارند. همچنین از شرکت لوله و تجهیزات سدید به لحاظ در اختیار قرار دادن فولاد API X65 و آقایان مهندس اسماعیل قاسمی سلوکلو و

شیار بسیار بیشتر از نمونه شیاردار است و مانند شکل (۶) که برای نمونه‌های ترک‌دار است تبعیت نمی‌کند.



شکل (۱۰): ناحیه پلاستیک نوک ترک نمونه استاندارد شاری



شکل (۱۱): ناحیه پلاستیک نمونه شاری بدون شیار

نتیجه‌گیری

در تحقیق حاضر بررسی اثر عمق شیار V شکل بر چقرمگی شکست و ناحیه پلاستیک نوک ترک با استفاده از داده‌های آزمایش ضربه شاری در فولاد ایکس شصت و پنج بررسی شد. برای این تحقیق بیست و چهار نمونه در هفت سری نمونه (هر نمونه با ۳ بار تکرار) با عمق شیار غیراستاندارد و یک سری ۳ تایی نمونه با ابعاد استاندارد مورد آزمایش قرار گرفت. دستگاه ضربه شاری مورد استفاده در این آزمایش با ظرفیت ۷۵۰ ژول مطابق استاندارد ASTM E23 انتخاب شد. همچنین شبیه‌سازی سه بعدی نمونه در نرم‌افزار آباکوس صورت گرفت. خلاصه نتایج به دست آمده عبارت است از:

۱. با افزایش عمق شیار انرژی شکست شاری به صورت نمایی بر اساس رابطه $E = 503.44e^{-0.352a}$ کاهش پیدا می‌کند. همچنین با افزایش عمق شیار،

| | | |
|--------------------------|-----------------------|--|
| Simulation | شبیه‌سازی | مهندس محمدعلی آبادزردشتی که در شبیه‌سازی یاری نمودند قدردانی و تشکر می‌گردد. |
| Notch Depth | عمق شیار | |
| Steel | فولاد | |
| Polar | قطبی | واژه‌نامه |
| Fracture Mechanic | مکانیک شکست | 3D Pointing Test آزمایش خمش سه‌نقطه |
| Impact Mechanic | مکانیک ضربه | Charpy Impact Test آزمایش ضربه شاری |
| Crack tip plastic region | ناحیه پلاستیک نوک ترک | Tresca Stress تنش ترسکا |
| Specimen | نمونه | Von Mises Stress تنش فن میز |
| | | Fracture toughness چقرمگی شکست |

مراجع

- Hosseinzadeh, A., "Experimental and numerical investigation of section thickness effect on Charpy fracture energy in API X65 steel", MSC thesis of Mechanical Engineering, University of Birjand, (2018).
- Majzooobi, Gh., Alavinia, A., "Strength of Materials 3", Bu Ali Sina University Press, (2011).
- Velazquez, J. L., "Mecánica de fractura", México: Limusa, (2004).
- Matusevich, A. E., Mancini, R. A., Giudici, A. J., "Determinación de la tenacidad a la fractura del material de un gasoducto", *Revista Latinoamericana Am Metal Mater*; Vol.32, No. 2, pp. 60-253, (2012).
- McNicol, R. C., "Correlations of Charpy test results for standard and nonstandard size specimens", *Shaker Heights: Welding Research Council*; Vol. 5. pp. 385, (1965).
- Phaal, R., Macdonald, K. A., Brown, P. A., "Correlations between fracture and Charpy impact energy", report from the cooperative research programmed for industrial members only, TWI report 504/1994. Cambridge, U.K.: The Welding Institute, (1994).
- Barsom, J. M., Rolfe, S. T., "Fracture and fatigue control in structures", 3rd ed. Englewood Cliffs, New Jersey: Prentice Hall, (1999).
- Rolfe, S. T., Novak, S. R., "Slow-bend KIC testing of medium high-toughness steel", Review of development in plane strain fracture toughness testing, ASTM STP 463, ASTM; pp. 124-59, (1970).
- Barsom, J. M., Rolfe, S. T., "Correlations between KIC and Charpy V-notch test results in the transition-temperature range", *Impact Testing of Metals*, ASTM STP 466, ASTM; pp. 281-302, (1970).
- Roberts, R., Newton, C., "Interpretive report on small scale test correlations with KIC data", WRC Bulletin, Welding Research Council, New York N.Y.; February, pp. 265, (1981).

11. Sailors, R. H., Corten, H. T., "Relations between material fracture toughness using fractures mechanics and transition temperature test", In: Fracture toughness, proceeding of the 1972, National Symposium on Fracture Mechanics – Part II, STP 514, ASTM; pp. 164–91, (1972).
12. Wullaert, R. A., "Fracture toughness predictions from Charpy V-notch data, what does the Charpy test really tell us In: Proceeding of the American Institute of Mining, Metallurgical and Petroleum Engineers", American Society for Metals, (1978).
13. Roberts, R., Newton, C., "Report on small-scale test correlations with KIC data", Weld Res Council Bull;299, (1984).
14. Barsom, J. M., "The development of AASHTO fracture toughness for bridge steel", *Engineering Fracture Mechanics*; Vol. 7, No. 3, pp. 605–18, (1975).
15. Marandet, B., Sanz, G., "Evaluation of the toughness of the medium-strength by using elastic fracture mechanics and correlations between KIC and Charpy V-notch", *Flaw Growth and Fracture*, STP 631, ASTM; pp. 72–95, (1977).
16. Norris, D. M., Reaugh, J. E., Server, W. L., "A fracture-toughness correlations based on Charpy initiation energy", *Fracture Mechanics: Thirteenth Conference*, STP 473, ASTM; pp. 207–17.
17. Walling, K., "New report methodology for selecting Charpy toughness criteria for thin high strength steels. Report Represented to Commission X", Annual assembly, Beijing, IIW DOC. NO. X.1290-94, (1981).
18. Morales, F. R., Scott, A. D., Nápoles, N. P., "Determinación de la tenacidad a la fractura de muestras de acero 45 fundido, empleando las correlaciones entre el KIC y la energía de impacto medida en el ensaye de Charpy", *Ingeniería Mecánica*;2:29–33, (2005).
19. Salaripour, H., "Analysis of experimental results of API X70 steel drop weight tear test", Master Thesis in Mechanics, Department of Mechanics, Birjand University, (2011).
20. Verlinden, B., "Thermo-Mechanical Processing of Metallic Materials", First Edition, *Elsevier Ltd*, (2007).
21. Hasemi, S. H., Kymyabakhsh, M., Rezaei Yekta, M., Farahi, A., "Experimental and numerical investigation of the influence of the length of the three-point bending point groove on the value of the integral J in steel gas transfer pipes with API X65", *19th Annual Conference of Iranian Society of Mechanical Engineering (ISME2011)*, Birjand, University of Birjand, (2011).
22. ASTM E23, standard Test Methods for Notched Bar Impact Testing of Metallic Materials (Approved Nov. 10. 2002, Published May 2003).
23. Rolfe, S. T., Novak, S. T., "Impact testin of metals", ASTM STP 463. American Society for Testing and Materials; pp. 124-159, (1970).
24. Barsom, J. M., Rolfe, S. T., "Impact testing of metals", ASTM STP 466. American Society for Testing

- and Materials; pp. 281-302, (1970).
25. Ault, R. T., Wald, G. M., Bertola, R. B., "Development of an improved ultrahigh strength steel for forged aircraft components", AFML TR 71271, Airforce Materials Lab, Wright-Patterson Airforce Base, Ohio, USA, (1971).
 26. VanderSluys, W. A., Seely, R. R., Schwabe, J. E., "Determining fracture properties of reactor vessel forging materials", EPRI NP 922, Electric Power Research Institute, Palo Alto, California, USA, pp. 5-22, (1983).
 27. Witt, F. J., "Relationships between Charpy impact shelf energies and upper shelf K_{IC} values for reactor pressure vessel steels", *International Journal of Pressure Vessels and Piping*, (1983).
 28. Kussmaul, K., Roos, E., "Statistical evaluation of post-yield fracture mechanics properties on the basis of the notched bar impact test", Safety and Reliability of Pressure Components with Special Emphasis on Fracture Exclusion: 10th MPA seminar, *Staatliche Material prufungsanstalt Universitat, Stuttgart*, Vol.1, pp. 12, (1984).
 29. Asghari, V., ChoupaniNaghdalHanifi, M., "CVN–KJC correlation model for API X65 gas pipeline", *Engineering Failure Analysis*, doi: 10.1016/j.engfailanal.2017.04.007, (2017).
 30. Hasemi, S. H., Kymyabakhsh, M., "Experimental and Numerical Determination of Fracture Toughness in Gas Pipeline Steel of Grade API X65", *Amirkabir Journal of Science & Research (Mechanical Engineering)*, Vol. 45, No. 2, (2013)
 31. Beak, J. H., Kim, Y. P., Kim, C. M., Kim, W. S., Seok, C. S., "Effect of Pre-Strain on the Mechanical Properties of API X65 Pipe", *Material and Science A*, Vol. 527, pp.1473-1479, (2010).
 32. BS EN ISO 12737, "Metallic Materials Determination of Plan-Strain Fracture Toughness", British Standard 000Institution, (1999).
 33. Perez, N., "Fracture Mechanics", Department of Mechanical Engineering, University of Puerto Rico, (2004).
 34. Capelle, J., Furtado, J., Azari, Z., Jallais, S., Pluvinage, G., "Design based on ductile–brittle transition temperature for API 5L X65 steel used for dense CO₂ transport", *Engineering Fracture Mechanics*, Vol. 110, pp. 270-280, ISSN 0013-7944, (2013).
 35. Hosseinzadeh, A., Hashemi, S. H., "Experimental and numerical investigation of notch depth effect on Charpy fracture energy in API X65 steel", *Iranian Journal of Science and Technology*, (2020).